

岐阜大学工学部 正会員 河村 三郎  
岐阜大学大澤院 浮生会員 ○龜田 茂男

## 1. はじめに

ダム堆砂に起因する問題には、(1)ダム上流部における河床上昇(バックサンド)(2)ダム下流部における河床低下等がある。このような問題に対して、多くの研究が行われ、掃流砂による堆砂機構はかなり明確にされてきた。しかしながら、浮遊砂による堆砂機構に関しては、従来あまり研究が行われていない。本研究は、ダムにおける浮遊砂の挙動を、差分法を利用して、数値計算を行うことにより解析を行ったものである。

## 2. 理論的考察

(1) 浮遊砂の濃度分布式は、(座標図-1 参照)

$$\frac{\partial C}{\partial t} + U \frac{\partial C}{\partial X} + V \frac{\partial C}{\partial Y} + W \frac{\partial C}{\partial Z} = \frac{\partial}{\partial X} \left( \epsilon_x \frac{\partial C}{\partial X} \right) + \frac{\partial}{\partial Y} \left( \epsilon_y \frac{\partial C}{\partial Y} \right) + \frac{\partial}{\partial Z} \left( \epsilon_z \frac{\partial C}{\partial Z} \right) + W_0 \frac{\partial C}{\partial Z} \quad \dots \dots (0)$$

$$\text{定常状態を考え、かつ微小量を無視して, } U \frac{\partial C}{\partial X} = \frac{\partial}{\partial Z} \left( \epsilon_z \frac{\partial C}{\partial Z} \right) + W_0 \frac{\partial C}{\partial Z} \quad \dots \dots (1)$$

$C$  ; 濃度,  $U$  ; 流速,  $\epsilon$  ; 拡散係数,  $W_0$  ; 沈降速度

$$U \text{ と } \epsilon \text{ は断面平均値を用いて } X \text{ のみの関数として, } V \frac{\partial C}{\partial Z} = \frac{\partial^2 C}{\partial Z^2} + W_0 \frac{\partial C}{\partial Z} \quad \dots \dots (2)$$

$$\text{ここに, } V \text{ ; 断面平均流速, } \epsilon = K U_* h / 6 \quad \dots \dots (3)$$

$K$  ; カルマン定数,  $U_*$  ; 摩擦速度,  $h$  ; 水深

$$\text{境界条件として, } X = 0; \quad C = C_0 (W_0 / U_*) e^{-W_0 / \epsilon z} \quad \dots \dots (4)$$

$W_0$ ,  $U_*$ ,  $\epsilon$  は,  $X = 0$  地点でのそれぞれの値。 $C_0$  は  $W_0 / U_* h$  の値に  
対応する平衡状態における底面濃度で、芦田・道上によつて得られて  
いる。(図-2)<sup>1)</sup> 底面で,  $Z = 0$ ;  $\frac{\partial C}{\partial Z} = -W_0 C_0 (W_0 / U_*) / \epsilon \dots \dots (5)$

$$\text{また水面で, } Z = h; \quad \frac{\partial C}{\partial Z} = -W_0 C / \epsilon \quad \dots \dots (6)$$

### (2) 貯水池形状の仮定

以上の式を解くために貯水池形状を以下のように仮定した。

$$h_x = h_0 \{ 1 + b(X/l)^n \} \quad \dots \dots (7) \quad h_x, h_0 \text{ は } X = X, X = 0 \text{ での水深}$$

$$A_x = A_0 \{ 1 + a(X/l)^m \} \quad \dots \dots (8) \quad A_x, A_0 \text{ は } X = X, X = 0 \text{ での断面積, } n; m; \text{指数, } a; b; \text{係数, 流速係数 } \psi \text{ は, } \psi = V/U_* \dots \dots (9)$$

### (3) 無次元化と差分化

以上の式を無次元化し、差分式として次式を使用して整理すると、

$$\frac{\partial C}{\partial X} = (C_{i+1,j} - C_{ij}) / h \quad \dots \dots (10) \quad \frac{\partial C}{\partial Z} = (C_{ij+1} - C_{ij-1}) / 2k \quad \dots \dots (11)$$

$$\frac{\partial^2 C}{\partial X^2} = (C_{i+1,j+1} + C_{i+1,j-1} - 2C_{ij}) / k^2 \quad \dots \dots (12) \quad h, k; X, Z \text{ 方向の差分間隔, } i, j; X, Z \text{ 方向の差分格子点}$$

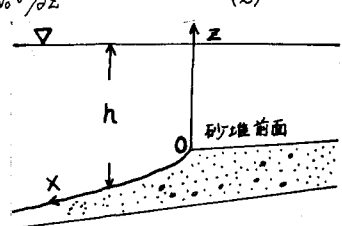


図-1 定義図

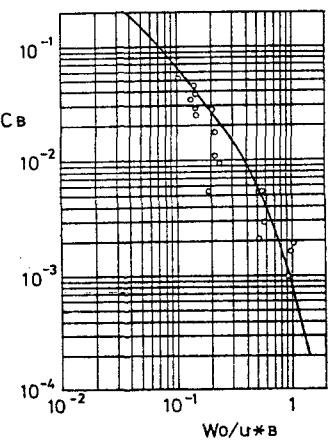


図-2 底面濃度(芦田・道上による)

$$C_{i+1,j} = h/A \{ D(C_{i,j+1} + C_{i,j-1} - 2C_{ij})/k^2 + O(C_{i,j+1} - C_{i,j-1})/hk \} + C_{ij} \quad \dots \dots (13)$$

$$A = 1/(1 + aX^m), D = K/\psi^2 \cdot 1/(1 + aX^m) \cdot b/i(1 + bX^n), O = W_0 \cdot b/i(1 + bX^n) \quad i; \text{河床勾配}$$

$$\text{水面では, } C_{i,j+1} = k [ -6\varphi W_0 (1 + \alpha X^m) C_{i,j}/K ] + C_{i,j} \quad \cdots \cdots (V4)$$

$$\text{底面では, } C_{i,j} = -k (6\varphi W_0/K)^2 \cdot (1 + \alpha X^m) \cdot C_B (W_0/V*) / [C_B (W_0/V*) \cdot (1 - e^{-6\varphi W_0/K}) + C_{i,j+1}] \cdots (V5)$$

計算法を説明するためにこれを図化したものが、図-3である。すなわち、境界を除く点は(13)式で、境界上の点は(14)、(15)式で計算し、この手法をx方向にくり返し利用することにより、貯水池全域にわたっての濃度を計算しようとするものである。各格子点における濃度が求められたので、次に各断面における浮遊砂量を求める。浮遊砂量 $Q_s$ は、平均流速 $V$ を利用して、 $Q_s = V \int C dz \cdots \cdots (V6)$  Cの断面全域にわたる積分の値は台形公式により近似する。なお、差分間隔は、安定な解が得られるように、Von Neumannの条件により決定した。

#### (4) 定数の決定と数值解

粒径及び沈降速度 $W_0$ の関係はRubeyの方法によって与えられる。(図-4)。浮遊砂が問題となるのは、砂、シルト等と考えられるので、粒径 $d = 200\mu, 100\mu, 50\mu, 30\mu$ について調べた。断面、水深係数 $a, b$ として、(i)断面、水深変化が比較的大きい場合 $a=20, b=5$  (ii)断面、水深変化が比較的小さい場合について、数值解を求めた。他の定数の値として、 $m=2, n=1, i=1/100, K=0.4, \varphi=25$ を与えた。

### 3. 解析結果と考察

濃度変化、浮遊砂量の解析結果の一例を図-5に示す。これらの図より

(i)断面、水深変化のいずれの場合も、濃度の流下方向の減少は、水面付近、中央、底面へと進む。

(ii)断面変化の小さい場合か、大きい場合に比較して、堆砂開始点、終了点が長くなる傾向をもつ。

(iii)この浮遊砂量の図を用いて、流入土砂量に対して、ダム内に堆積する割合がわかる。

参考文献 1) 芦田・道上 浮遊砂に関する研究 京大防災研年報13号

2) 芦田 貯水池堆砂捕捉率に関する研究 昭51 防災研究協会

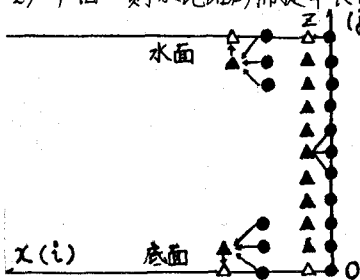


図-3 計算法の説明

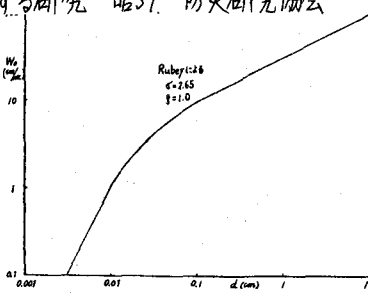


図-4 粒径と沈降速度

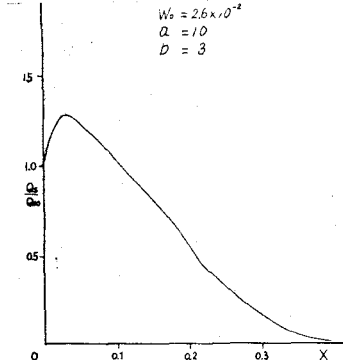
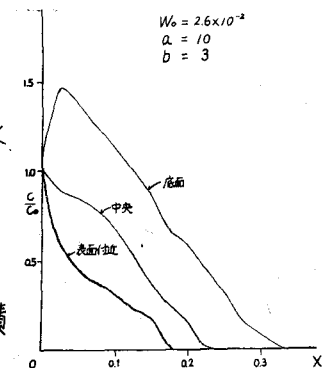
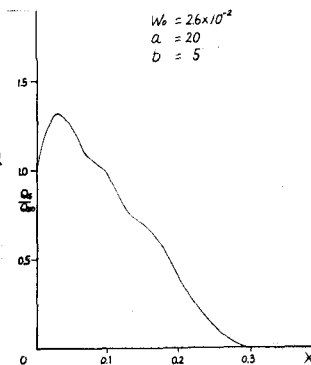
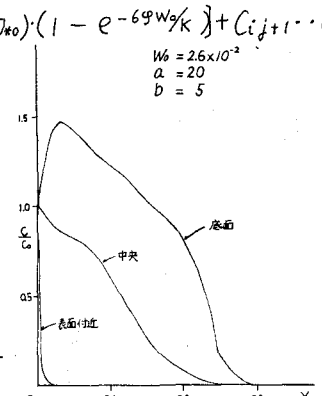


図-5 濃度変化と浮遊砂量